

УДК 551.501

В.В. Веретенников

ГЕОМЕТРИЧЕСКИЙ ФАКТОР ЛИДАРА В МАЛОУГЛОВОМ ПРИБЛИЖЕНИИ

В рамках малоуглового приближения получено точное аналитическое описание для геометрического фактора лидара в виде интеграла от произведения функций Бесселя, предложен способ его представления через элементарные функции. Проанализировано поведение геометрического фактора вдоль трассы при зондировании с разнесенными источником и приемником.

При решении обратных задач зондирования плотных сред возникает необходимость в корректном определении соотношения между однократно и многократно рассеянными составляющими в лидарном сигнале [1]. В ряду факторов, определяющих поведение названного соотношения, можно выделить геометрический фактор, в котором сосредоточена информация о влиянии геометрических параметров схемы лидарного зондирования на величину сигнала однократного рассеяния. В настоящей статье получено точное аналитическое описание для геометрического фактора в рамках малоуглового приближения, предложен способ его представления через элементарные функции и проанализировано поведение на трассе при зондировании с разнесенными источником и приемником.

1. Исходные уравнения. Постановка задачи

Предположим, что рассеивающая среда занимает область $z > 0$, источник и приемник оптического излучения расположены в плоскости $z = 0$, а их оси ориентированы параллельно оси Oz и разнесены на расстояние d (рис. 1).

Для описания пространственно-угловой структуры светового поля на выходе источника излучения с центром в начале координат будет использована модель, имеющая круговую симметрию вида

$$I_0(\mathbf{r}, \mathbf{n}) = A \sum (r, R_n) \Omega(\gamma, \gamma_n) \tag{1}$$

со ступенчатым распределением интенсивности

$$\sum (s, t) = \Omega(s, t) = U(t - s), \tag{2}$$

где $U(t)$ – единичная ступенчатая функция (функция Хевисайда); множитель $A = P_0 / (\pi R_n \gamma_n)^2$; P_0 – мощность; R_n, γ_n – радиус выходной апертуры и угол расходимости источника; $r = |\mathbf{r}|$, $\mathbf{r} = (x, y)$ – поперечные координаты; $\gamma = (\mathbf{n}, \hat{\mathbf{z}}_0)$ – угол, образованный направлением \mathbf{n} с осью Oz .

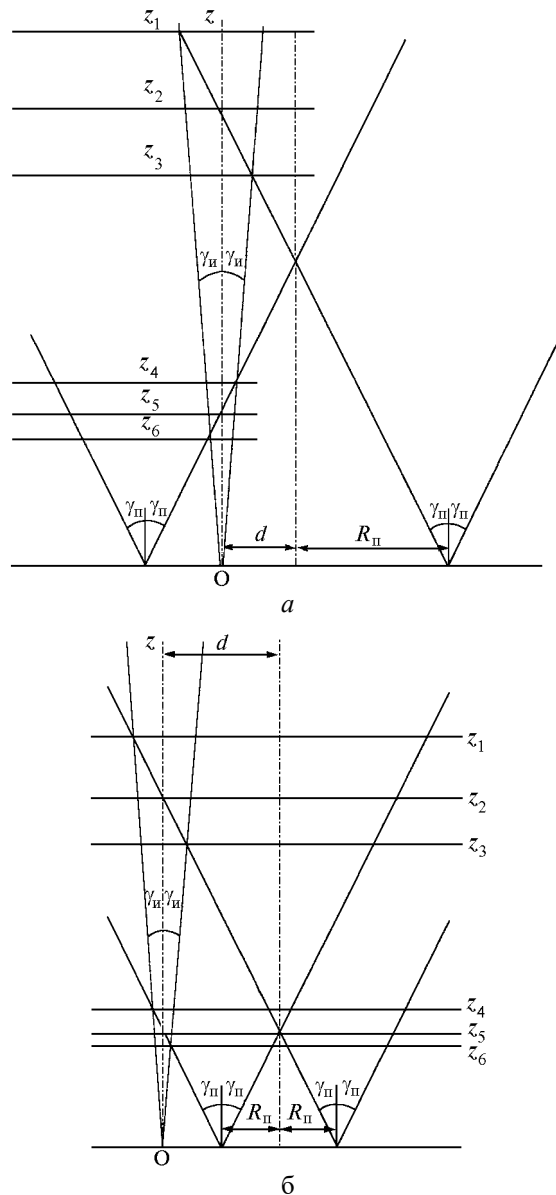


Рис. 1. Геометрическая схема лидарного зондирования: $a - d < R_n$; $b - d > R_n$

Предположим далее, что функция чувствительности приемной системы по пространственным и угловым координатам $D(\mathbf{r}, \mathbf{n})$ также имеет ступенчатый вид и для приемника с круговой симметрией, оптическая ось которого совмещена с осью Oz , может быть представлена в форме, аналогичной (1):

$$D(\mathbf{r}, \mathbf{n}) = \sum (r, R_n) \Omega(\gamma, \gamma_n), \quad (3)$$

где R_n и γ_n – радиус входной апертуры и угол поля зрения приемника.

Если положение центра приемной апертуры определяется радиусом-вектором \mathbf{d} на плоскости $z = 0$, то при облучении среды δ -импульсным источником с единичной энергией выражение для мощности лидарного сигнала, поступающего на вход приемной системы в момент времени t , можно записать в виде двумерной свертки на плоскости $z = ct/2$ [2, 3]:

$$P(t) = \frac{c}{2} \mu_\pi \left(\frac{ct}{2} \right) \times \iint_S E_n(\mathbf{r}, z) E_n(\mathbf{d} - \mathbf{r}, z) d\mathbf{r}, \quad (4)$$

где c – скорость света; $\mu_\pi(z)$ – коэффициент рассеяния в направлении назад; $E_n(\mathbf{r}, z)$ и $E_n(\mathbf{d} - \mathbf{r}, z)$ – пространственные освещенности, создаваемые в среде стационарным источником с распределением яркости на входе в среду $I_0(\mathbf{r}, \mathbf{n})$ (1) и фиктивным источником с распределением яркости $D(\mathbf{r}, \mathbf{n})$ (3) соответственно. В [4] приведены формулы для расчета функции $E(\mathbf{r}, z)$ в малоугловом приближении теории переноса излучения. Используя свойства двумерного преобразования Фурье для функции с круговой симметрией и теорему о свертке, в приближении однократного рассеяния на основании [4] формулу (4) можно представить в следующем виде:

$$P(z, d, \gamma_n, R_n, \gamma_n) = F \left(\frac{c}{2} \right) \mu_\pi(z) z^{-2} e^{-2\tau(z)}, \quad (5)$$

где множитель $F = 4\pi \frac{R_n \gamma_n}{\gamma_n} G(d, z\gamma_n, R_n, z\gamma_n)$ описывает зависимость лидарного сигнала от геометрических параметров схемы зондирования и может быть определен как геометрический фактор лидара. Для апертур ступенчатого типа функция $G(d, z\gamma_n, R_n, z\gamma_n)$ представляется в виде интеграла (П10) с заменой параметров $r = d$, $a = z\gamma_n$, $b = R_n$, $c = z\gamma_n$.

Очевидно, что прямое нахождение значений функции $G(d, z\gamma_n, R_n, z\gamma_n)$ по формуле (П10) с помощью численного интегрирования представляет собой весьма трудоемкую задачу. В Приложении описан способ преобразования интеграла (П10) к более удобному для анализа и расчетов виду (П13).

Подставляя в преобразованное выражение (П13) значения параметров $r = d$, $a = z\gamma_n$, $b = R_n$, $c = z\gamma_n$ и

учитывая, что входящая в него функция $B(v, z\gamma_n, z\gamma_n) = 0$ при $v \geq z\gamma_n + z\gamma_n$, запишем следующее выражение для функции $G(d, z\gamma_n, R_n, z\gamma_n)$, определяющей поведение геометрического фактора лидара:

$$G(d, z\gamma_n, R_n, z\gamma_n) = \int_0^{z\gamma_n + z\gamma_n} A(v, d, R_n) B(v, z\gamma_n, z\gamma_n) v dv. \quad (6)$$

Поскольку функции $A(v, d, R_n)$ (П1), $B(v, z\gamma_n, z\gamma_n)$ (П6), стоящие под знаком интеграла в (6), выражаются через элементарные, а интегрирование проводится в конечных пределах, то вычисления по формуле (6) являются более простой задачей.

2. Анализ геометрического фактора

При определенных соотношениях между параметрами в подынтегральном выражении формулы (6) возможно ее дальнейшее упрощение. Для определенности будем полагать, что $\gamma_n > \gamma_n$. Это позволяет разделить область интегрирования в (6) на две части и представить интеграл (6) в виде суммы

$$G = \int_0^{z\gamma_n - z\gamma_n} A(v) B(v) v dv + \int_{z\gamma_n - z\gamma_n}^{z\gamma_n + z\gamma_n} A(v) B(v) v dv = G_1 + G_2. \quad (7)$$

Разбиение на слагаемые функции G (7) влечет за собой соответствующее разделение лидарного сигнала $P(z) = P_1(z) + P_2(z)$. В соответствии с (П8), (П9) функция $B(v, z\gamma_n, z\gamma_n)$ в первом интеграле (7) сохраняет постоянное значение, что позволяет с учетом (П7) записать

$$G_1 = \frac{\gamma_n}{2\gamma_n} \int_0^{z\gamma_n - z\gamma_n} A(v, d, R_n) v dv = \frac{z\gamma_n}{2\gamma_n} (\gamma_n - \gamma_n) B(d, z\gamma_n - z\gamma_n, R_n), \quad (8)$$

откуда на основании (П8) для составляющей $P_1(z)$ лидарного сигнала будем иметь

$$P_1(z, d, \gamma_n, R_n, \gamma_n) = \left(\frac{c}{2} \right) \mu_\pi(z) \times e^{-2\tau(z)} z^{-2} [U_{R_n}(d) ** U_{z\gamma_n}(d)], \quad (9)$$

где $\tilde{\gamma}_n = \gamma_n - \gamma_n$. При замене $\tilde{\gamma}_n$ на γ_n формула (9) описывает лидарный сигнал для упрощенной модели с точечным мононаправленным источником [5].

Остановимся подробнее на структуре составляющей лидарного сигнала $P_1(z)$ (9). В дальней зоне приема (см. рис. 1), представляющей, как правило, наибольший практический интерес, при

$$z > z_1 = (R_n + d) / \tilde{\gamma}_n \quad (10)$$

лидарный сигнал $P_1(z)$ будет определяться формулой

$$P_1(z) = (c/2) \mu_\pi(z) z^{-2} S_\pi e^{-2\tau(z)}, \quad (11)$$

где $S_\pi = \pi R_\pi^2$ – площадь приемной апертуры. Как следует из (10), при $\gamma_\pi \rightarrow \gamma_\pi$ это случай может реализоваться лишь на бесконечности.

В ближней зоне приема, которую определим из условия

$$z < z_4 = |R_\pi - d| / \tilde{\gamma}_\pi, \quad (12)$$

при $d > R_\pi$ получим $P_1(z) = 0$, а при $d < R_\pi$

$$P_1(z) = (c/2) \mu_\pi(z) \tilde{\Omega}_\pi e^{-2\tau(z)}, \quad (13)$$

где $\tilde{\Omega}_\pi = \pi \tilde{\gamma}_\pi^2$ можно рассматривать как эффективную величину телесного угла приема.

В переходной области

$$z_4 < z < z_1 \quad (14)$$

расчет геометрического фактора $F = U_{R_\pi}(d) \dots U_{z\tilde{\gamma}_\pi}(d)$ для сигнала $P_1(z)$ производится с использованием последней из формул (П9). Семейство обобщенных зависимостей $F/(\pi R_\pi^2)$ от безразмерной величины $\rho = z\gamma_\pi/R_\pi$ при различных значениях параметра $\eta = d/R_\pi$ приведено на рис. 2. Кривая 1 на рис. 2 соответствует совмещенной схеме зондирования ($d = 0$). Область на кривой 1, расположенная левее точки $M_1(\rho < 1)$, относится к ближней зоне, а точки справа от нее, расположенные на прямой $F/(\pi R_\pi^2) = 1$, – к дальней зоне. Размер переходной области в совмещенной схеме зондирования уменьшается до нуля. С увеличением η от 0 до 1 граница ближней зоны перемещается по кривой 1 к точке $\rho = 0$ (точки $M_2, M_3 \dots$) и при $d = R_\pi$ ближняя зона исчезает (кривая 5). При дальнейшем возрастании $\eta > 1$ ближней зоне соответствуют участки на оси абсцисс, на которых функция F обращается в нуль.

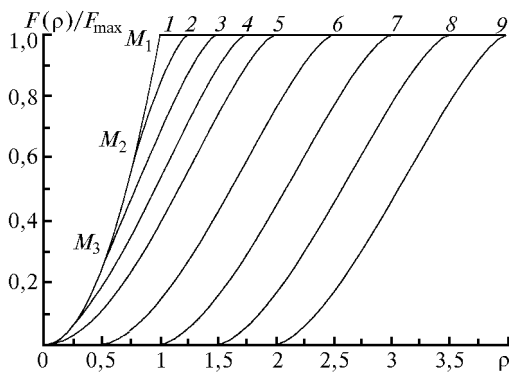


Рис. 2. Параметрическое семейство зависимостей геометрического фактора $F(\rho)/F_{\max}$, $\rho = z\gamma_\pi/R_\pi$ при вариациях отношения $\eta = d/R_\pi$; кривые 1–9: $\eta = 0; 0,25; 0,5; 0,75; 1,0; 1,5; 2,0; 2,5; 3,0$

Кратко остановимся на втором слагаемом в (7):

$$G_2 = \int_{z\gamma_\pi - z\gamma_\pi}^{z\gamma_\pi + z\gamma_\pi} A(v, d, R_\pi) B(v, z\gamma_\pi, z\gamma_\pi) v dv. \quad (15)$$

Его роль возрастает с увеличением γ_π , поскольку $G_1 \rightarrow 0$ при $\gamma_\pi \rightarrow \gamma_\pi$. Согласно (П2), (П5) функция $A(v, d, R_\pi) = 0$ при $v \geq d + R_\pi$. Последнее условие всегда удовлетворяется, если нижний предел интегрирования в (15)

$$z\gamma_\pi - z\gamma_\pi \geq d + R_\pi. \quad (16)$$

Но ограничение (16) эквивалентно заданию границы дальней зоны (10) для интеграла G_1 . Следовательно, в дальней зоне приема $G_2 = 0$ и лидарный сигнал $P(z) = P_1(z)$ (11). Другая ситуация, при которой $A(v, d, R_\pi) = 0$, реализуется в случае $v \leq |d - R_\pi|$, $d > R_\pi$. Это возможно при

$$z \leq z_6 = |d - R_\pi| / (\gamma_\pi + \gamma_\pi). \quad (17)$$

Последнее условие определяет ближнюю зону для интеграла G_2 (15) (см. рис. 1), в которой $G_2 = 0$ и $P(z) = 0$ при $d > R_\pi$. Заметим, что границы ближних зон для G_1 и G_2 (точки z_4 и z_6 на рис. 1) не совпадают. При $d < R_\pi$ в ближней зоне (17) $A(v, d, R_\pi) = R_\pi^{-1}$ и на основании (П16) можно записать выражения для интеграла G (6)

$$G = z^2 \gamma_\pi \gamma_\pi / (4 R_\pi) \quad (18)$$

и лидарного сигнала

$$P(z) = (c/2) \mu_\pi(z) \Omega_\pi e^{-2\tau(z)}. \quad (19)$$

Расчет интеграла G_2 в интервале между точками $z_6 < z < z_1$ производится по общей формуле (15).

3. Заключение

Выполненное исследование аналитического выражения для геометрического фактора лидара, полученного в малоугловом приближении для апертур ступенчатого типа, показывает, что в зависимости от соотношения между параметрами приемопередающей системы лидара трассу зондирования можно разделить на характерные области или зоны: ближнюю, переходную и дальнюю, в пределах которых расчеты, связанные с учетом геометрии лидарного эксперимента, могут существенно упрощаться. Основу анализа составляют формулы преобразования интегралов от произведения функций Бесселя к выражениям, зависящим от элементарных функций. Применение этих формул облегчает анализ и физическую интерпретацию результатов, что обуславливает их полезность также при решении и других задач оптики.

ПРИЛОЖЕНИЕ

Интегралы от произведения функций Бесселя

В данном разделе приведены формулы для нахождения некоторых интегралов, необходимые при анализе геометрического фактора лидара.

1. Рассмотрим вспомогательный интеграл от произведения функций Бесселя следующего вида:

$$A(r, b, a) = \int_0^{\infty} J_0(r\omega) J_0(b\omega) J_1(a\omega) d\omega. \quad (\text{П1})$$

Можно показать, что интеграл (П1) имеет простой геометрический смысл: его величина пропорциональна двумерной свертке функций

$$A(r, b, a) = (2\pi ab)^{-1} U_a(r) ** \delta(r - b), \quad (\text{П2})$$

где $U_a(r)$ – единичная ступенчатая функция на плоскости xOy ,

$$U_a(r) = \begin{cases} 1, & 0 \leq r < a, \quad r = \sqrt{x^2 + y^2}, \\ 0, & r > a; \end{cases} \quad (\text{П3})$$

$\delta(r)$ – дельта-функция Дирака. Доказательство этого утверждения основано на теореме о свертке, свойствах преобразований Фурье обобщенных функций и известном в теории бesselевых функций соотношении

$$\int_0^a r J_0(\omega r) dr = \frac{a J_1(\omega a)}{\omega}. \quad (\text{П4})$$

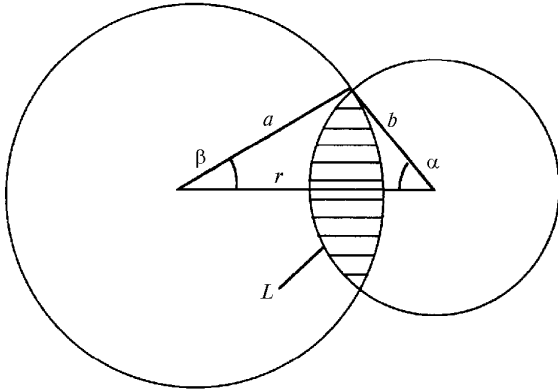


Рис. 3. Геометрическая интерпретация параметров в интегралах $A(r, b, a)$ (П1) и $B(r, b, a)$ (П6)

В свою очередь, применяя технику интегрирования выражений, содержащих δ -функцию на плоскости [6], можно получить выражение для свертки $U_a(r) ** \delta(r - b)$ через элементарные функции

$$U_a(r) ** \delta(r - b) = \begin{cases} 0, & r \geq a + b, \\ 0, & r \leq |a - b|, \quad a < b, \\ 2b\pi, & r \leq |a - b|, \quad a > b, \\ 2b\alpha, & 0 < |a - b| \leq r \leq a + b, \end{cases} \quad (\text{П5})$$

где α – угол в треугольнике со сторонами a , b и r , противолежащий стороне a (рис. 3). Соотношения (П5) означают, что величина свертки $U_a(r) ** \delta(r - b)$

численно равна длине дуги L , образованной пересечением двух окружностей с радиусами a и b , расстояние между центрами которых равно r .

Таким образом, интеграл $A(r, b, a)$ (П1) может быть представлен через элементарные функции.

2. Следующим шагом будет получение выражения для интеграла от произведения функций Бесселя следующего вида:

$$B(r, b, a) = \int_0^{\infty} \omega^{-1} J_0(r\omega) J_1(b\omega) J_1(a\omega) d\omega. \quad (\text{П6})$$

Связь интеграла $B(r, b, a)$ (П6) с интегралом $A(r, b, a)$ (П1) описывается формулой

$$\int_0^b A(r, b', a) b' db' = b B(r, b, a), \quad (\text{П7})$$

в справедливости которой легко убедиться, используя подстановку (П4). С другой стороны, с учетом представления для функции $A(r, b, a)$ в виде (П2), из (П7) следует выражение для интеграла $B(r, b, a)$ (П6) в виде [5]

$$B(r, b, a) = (2\pi ab)^{-1} U_b(r) ** U_a(r). \quad (\text{П8})$$

Таким образом, интеграл $B(r, b, a)$ (П6) пропорционален двумерной свертке кругов с радиусами a и b , центры которых разнесены на расстояние r . Из геометрических соображений ясно, что величина этой свертки равна площади пересечения кругов (заштрихованная область на рис. 3) и определяется по формулам

$$U_a(r) ** U_b(r) = \begin{cases} 0, & r \geq a + b, \\ \pi a^2, & r \leq |a - b|, \quad a < b, \\ \pi b^2, & r \leq |a - b|, \quad a > b, \\ a^2 \beta + b^2 \alpha - ab \sin \gamma, & 0 < |a - b| \leq r \leq a + b, \end{cases} \quad (\text{П9})$$

где α , β и γ равны величинам углов в треугольнике, которые расположены напротив сторон a , b и c соответственно.

3. В заключение рассмотрим интеграл от произведения четырех функций Бесселя нулевого и первого порядков

$$G(r, a, b, c) = \int_0^{\infty} \omega^{-2} J_0(r\omega) J_1(a\omega) J_1(b\omega) J_1(c\omega) d\omega. \quad (\text{П10})$$

Функция $G(r, a, b, c)$ симметрична относительно перестановки аргументов a , b и c . Опираясь на ранее полученные результаты и применяя теорему о свертке для функций, обладающих круговой симметрией,

интеграл $G(r, a, b, c)$ (П10) можно представить в следующем виде:

$$G(r, a, b, c) = (2\pi a)^{-1} U_a(r) ** B(r, b, c), \quad (\text{П11})$$

или, с учетом (П8),

$$G(r, a, b, c) = \frac{U_a(r) ** U_b(r) ** U_c(r)}{(2\pi)^2 abc}. \quad (\text{П12})$$

Наконец, более удобное для практических расчетов представление имеет вид

$$G(r, a, b, c) = \int_0^\infty A(v, r, b) B(v, a, c) v dv, \quad (\text{П13})$$

в справедливости которого можно убедиться подстановкой функций $A(v, r, b)$ (П1) и $B(v, a, c)$ (П6) с учетом соотношения

$$\int_0^\infty J_0(v\omega) J_0(v\omega') v dv = \frac{1}{\omega'} \delta(\omega - \omega'). \quad (\text{П14})$$

В частном случае при $r = 0$ из (П13) с учетом (П2), (П5) следует

$$\begin{aligned} G(r=0, a, b, c) &= \int_0^\infty \omega^{-2} J_1(a\omega) J_1(b\omega) J_1(c\omega) d\omega = \\ &= b^{-1} \int_0^b B(v, a, c) v dv, \end{aligned} \quad (\text{П15})$$

откуда на основании (П4) и теоремы о свертке можно получить простую формулу

$$G(r=0, a, b, c) = ab/(4c), \quad c \geq a + b. \quad (\text{П16})$$

1. Зуев В.Е., Белов В.В., Веретенников В.В. Теория систем в оптике дисперсных сред. Томск: Изд-во СО РАН, 1997. 402 с.
2. Ермаков Б.В., Ильинский Ю.А. // Изв. вузов СССР. Сер. Радиофизика. 1969. Т. 12. № 5. С. 694–701.
3. Долин Л.С., Савельев В.А. // Изв. АН СССР. Сер. ФАО. 1971. Т. 7. № 5. С. 505–510.
4. Браво-Животовский Д.М., Долин Л.С., Лучинин А.Г., Савельев В.А. // Изв. АН СССР. Сер. ФАО. 1969. Т. 5. № 2. С. 160–170.
5. Веретенников В.В. // IV Симпозиум «Оптика атмосферы и океана». (Тезисы докл.). Томск: изд-во «Спектр» ИОА СО РАН, 1997. С. 173–174.
6. Папулис А. Теория систем и преобразований в оптике. М.: Мир, 1971. 496 с.

Институт оптики атмосферы СО РАН,
Томск

Поступила в редакцию
3 июня 1998 г.

V.V. Veretennikov. Geometrical Factor of Lidar in Small-Angle Approximation.

A faithful analytical description of a lidar geometrical factor is obtained in a form of the integral of Bessel functions product within small-angle approximation; a way of its representation through elementary functions is proposed; and its behavior over path has been analyzed when sounding with the source and the receiver placed apart.